

Starkniederschlagshöhen und -spenden gemäß KOSTRA-DWD-2010R

Auswertungszeitraum von 1951 - 2010, Januar - Dezember

Rasterfeld: 33019

Zeile: 33

Spalte: 19

Seite: 1/2

| Dauerstufe D | Wiederkehrzeit T | | | | | | | | | | | | | | | | | | |
|--------------|------------------|------|------------|------|------------|------|------------|------|------------|------|------------|------|------------|------|------------|-------|------------|-------|------------|
| | 1 a | | 2 a | | 3 a | | 5 a | | 10 a | | 20 a | | 30 a | | 50 a | | 100 a | | |
| min | Std | mm | l / (s ha) | mm | l / (s ha) | mm | l / (s ha) | mm | l / (s ha) | mm | l / (s ha) | mm | l / (s ha) | mm | l / (s ha) | mm | l / (s ha) | mm | l / (s ha) |
| 5 | | 5,1 | 170,0 | 7,3 | 243,3 | 8,6 | 286,7 | 10,2 | 340,0 | 12,4 | 413,3 | 14,6 | 486,7 | 15,9 | 530,0 | 17,5 | 583,3 | 19,6 | 653,3 |
| 10 | | 8,1 | 135,0 | 10,9 | 181,7 | 12,5 | 208,3 | 14,5 | 241,7 | 17,2 | 286,7 | 20,0 | 333,3 | 21,6 | 360,0 | 23,6 | 393,3 | 26,3 | 438,3 |
| 15 | | 10,1 | 112,2 | 13,2 | 146,7 | 15,1 | 167,8 | 17,4 | 193,3 | 20,5 | 227,8 | 23,6 | 262,2 | 25,5 | 283,3 | 27,8 | 308,9 | 30,9 | 343,3 |
| 20 | | 11,5 | 95,8 | 14,9 | 124,2 | 16,9 | 140,8 | 19,5 | 162,5 | 22,9 | 190,8 | 26,4 | 220,0 | 28,4 | 236,7 | 30,9 | 257,5 | 34,3 | 285,8 |
| 30 | | 13,3 | 73,9 | 17,2 | 95,6 | 19,5 | 108,3 | 22,4 | 124,4 | 26,4 | 146,7 | 30,3 | 168,3 | 32,6 | 181,1 | 35,5 | 197,2 | 39,4 | 218,9 |
| 45 | | 14,9 | 55,2 | 19,4 | 71,9 | 22,0 | 81,5 | 25,3 | 93,7 | 29,8 | 110,4 | 34,3 | 127,0 | 36,9 | 136,7 | 40,2 | 148,9 | 44,7 | 165,6 |
| 60 | | 15,8 | 43,9 | 20,7 | 57,5 | 23,6 | 65,6 | 27,3 | 75,8 | 32,2 | 89,4 | 37,1 | 103,1 | 40,0 | 111,1 | 43,7 | 121,4 | 48,6 | 135,0 |
| 90 | | 17,3 | 32,0 | 22,7 | 42,0 | 25,8 | 47,8 | 29,8 | 55,2 | 35,2 | 65,2 | 40,6 | 75,2 | 43,8 | 81,1 | 47,8 | 88,5 | 53,2 | 98,5 |
| 120 | 2 | 18,4 | 25,6 | 24,2 | 33,6 | 27,5 | 38,2 | 31,8 | 44,2 | 37,5 | 52,1 | 43,3 | 60,1 | 46,6 | 64,7 | 50,9 | 70,7 | 56,6 | 78,6 |
| 180 | 3 | 20,1 | 18,6 | 26,4 | 24,4 | 30,1 | 27,9 | 34,7 | 32,1 | 41,0 | 38,0 | 47,3 | 43,8 | 51,0 | 47,2 | 55,7 | 51,6 | 62,0 | 57,4 |
| 240 | 4 | 21,4 | 14,9 | 28,1 | 19,5 | 32,1 | 22,3 | 37,0 | 25,7 | 43,7 | 30,3 | 50,4 | 35,0 | 54,4 | 37,8 | 59,3 | 41,2 | 66,0 | 45,8 |
| 360 | 6 | 23,4 | 10,8 | 30,8 | 14,3 | 35,1 | 16,3 | 40,5 | 18,8 | 47,8 | 22,1 | 55,2 | 25,6 | 59,5 | 27,5 | 64,9 | 30,0 | 72,2 | 33,4 |
| 540 | 9 | 25,6 | 7,9 | 33,7 | 10,4 | 38,4 | 11,9 | 44,3 | 13,7 | 52,3 | 16,1 | 60,3 | 18,6 | 65,0 | 20,1 | 71,0 | 21,9 | 79,0 | 24,4 |
| 720 | 12 | 27,3 | 6,3 | 35,9 | 8,3 | 40,9 | 9,5 | 47,2 | 10,9 | 55,7 | 12,9 | 64,3 | 14,9 | 69,3 | 16,0 | 75,6 | 17,5 | 84,2 | 19,5 |
| 1080 | 18 | 29,8 | 4,6 | 39,2 | 6,0 | 44,7 | 6,9 | 51,6 | 8,0 | 61,0 | 9,4 | 70,3 | 10,8 | 75,8 | 11,7 | 82,7 | 12,8 | 92,1 | 14,2 |
| 1440 | 24 | 31,8 | 3,7 | 41,8 | 4,8 | 47,6 | 5,5 | 55,0 | 6,4 | 64,9 | 7,5 | 74,9 | 8,7 | 80,8 | 9,4 | 88,1 | 10,2 | 98,1 | 11,4 |
| 2880 | 48 | 39,5 | 2,3 | 49,6 | 2,9 | 55,5 | 3,2 | 62,9 | 3,6 | 73,0 | 4,2 | 83,1 | 4,8 | 89,0 | 5,2 | 96,5 | 5,6 | 106,6 | 6,2 |
| 4320 | 72 | 44,8 | 1,7 | 55,0 | 2,1 | 60,9 | 2,3 | 68,4 | 2,6 | 78,6 | 3,0 | 88,8 | 3,4 | 94,7 | 3,7 | 102,2 | 3,9 | 112,4 | 4,3 |

Angaben in mm: Bemessungsniederschlagswerte h(n)

Angaben in l / (s ha): Regenspende R(n) mit $R(n) = h(n) \times 1,666667 / D[\text{min}]$

Toleranzbereiche:

+/- 10 % für $1 a \leq T \leq 5 a$

+/- 15 % für $5 a < T \leq 50 a$

+/- 20 % für $50 a < T \leq 100 a$

Datenbasis: KOSTRA-DWD-2010R des Deutschen Wetterdienstes. Die Regenspende wurde auf Basis des Bemessungsniederschlags zur jeweiligen Andauer berechnet.

Für die Richtigkeit und Aktualität der Angaben wird keine Gewähr übernommen. Erstellt 07/2022.

Starkniederschlagshöhen und -spenden gemäß KOSTRA-DWD-2010R

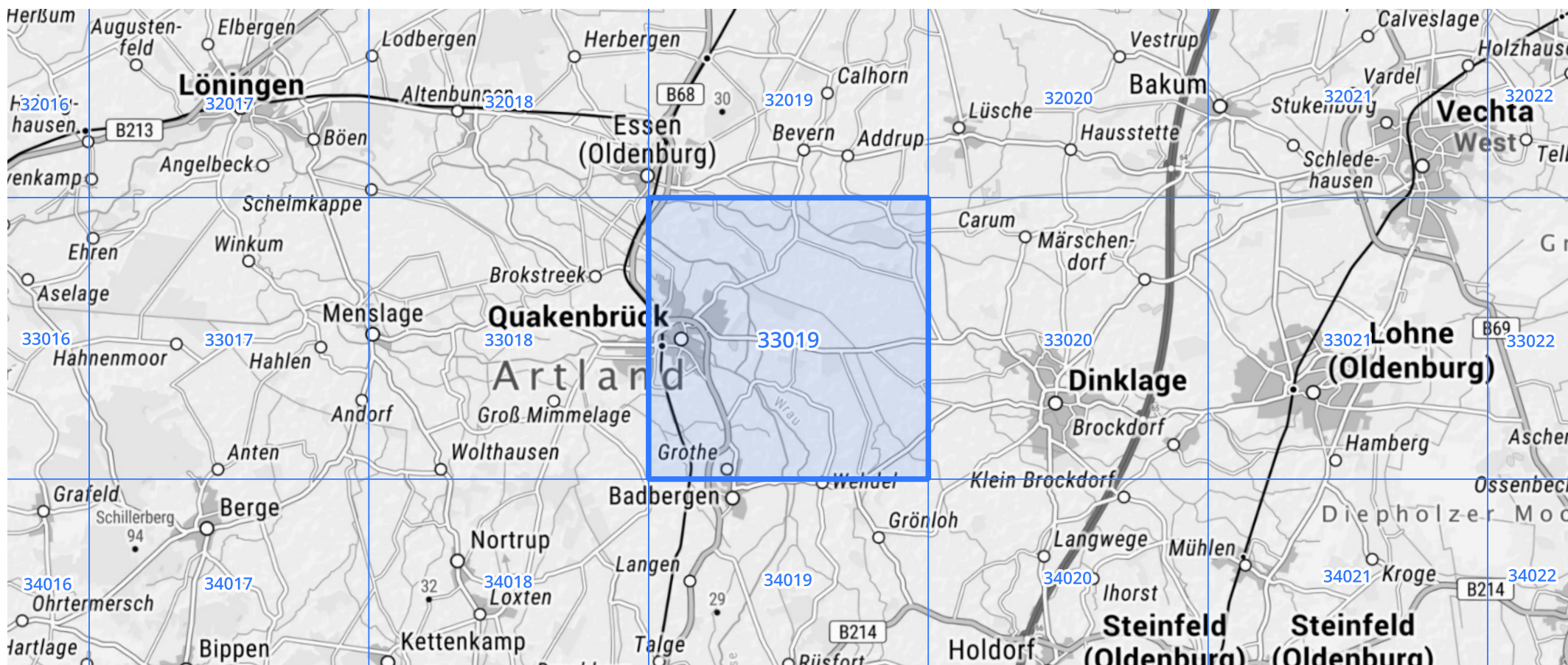
Auswertungszeitraum von 1951 - 2010, Januar - Dezember

Rasterfeld: 33019

Zeile: 33

Spalte: 19

Seite: 2/2



Quelle Rasterdaten: KOSTRA-DWD-2010R des Deutschen Wetterdienstes.

Kartendarstellung: © Bundesamt für Kartographie und Geodäsie (2022), Datenquellen: https://sgx.geodatenzentrum.de/web_public/gdz/datenquellen/Datenquellen_TopPlusOpen.html

Für die Richtigkeit und Aktualität der Angaben wird keine Gewähr übernommen. Erstellt 07/2022.